国際宇宙ステーションに 搭載されているSEDAーFIB データの解析

宇宙粒子研究室

10761075 平井 彰

目次

- 1 はじめに
- 2 目的
- 2.1 実験の目的
- 2. 2 SEDA AP装置の観測目的
- 2.3 中性子計測の目的
- 3 観測場所について
- 3. 1 国際宇宙ステーション(ISS)
- 3.2 ISSの周回軌道
- 4 観測装置について
- 4. 1. 1 SEDA AP装置について
- 4.1.2 中性子モニタ以外の各装置の説明
- 4. 2 中性子モニタ (NEM) の各部位と機能
- 4. 2. 1 電気回路部 (NEM-E)
- 4. 2. 2 検出部 (NEM-S)
- 4. 2. 2. 1 電源部
- 4. 2. 2. 2 ボナボール型検出器 (BBD)
- 4. 2. 2. 3 シンチレーションファイバー型検出器 (FIB)
- 5 観測環境について
- 5.1 宇宙放射線の種類
- 5.1.1 バンアレン帯
- 5.1.2 銀河宇宙線
- 5.1.3 太陽宇宙線
- 5.1.4 二次宇宙線
- 6 粒子観測の原理について
- 6.1 粒子観測の原理
- 6.2 中性子の観測原理
- 6.3 シンチレーションファイバー型検出器における中性子の観測原理

- 7 解析手順について
- 7. 1 ADC分布の解析手順
- 7. 2 中性子の各到来方向に対するエネルギー分布の解析手順
- 8 解析結果
- 8.1 ADC分布より得られた結果
- 8.2 Background中性子の各到来方向に対するエネルギー分布
- 8.3 太陽中性子の観測結果
- 9 考察
- 10 参考文献
- 10.1 書物
- 10.2 電子情報
- 11 謝辞

1 はじめに

太陽フレアが起こった際、磁場の再結合によってエネルギーを得た粒子は太陽大気と相互作用することにより二次粒子を放出する。電波やX線などの電磁波は加速された電子と太陽磁場との相互作用によるシンクトロン放射によって発生していることが分かっている。また、高エネルギーX線、核 γ 線、太陽中性子は加速イオンと太陽大気との相互作用によって発生する。こうして発生した電磁波や粒子は地球近傍に達し衛星に搭載されたX線、 γ 線、粒子線検出器によって観測される。

これらの現象を引き起こしているイオンなどの粒子がどのような機構によって加速されているのかは完全には分かっていない。イオンの加速機構を理解するためには加速イオンそのものを観測することが望ましいのだが、イオンは電荷をもっているために太陽磁場や惑星空間磁場との相互作用によって進路を曲げられるので観測するときにはイオンの発生時間やエネルギーなどの情報は失われている。一方、イオン加速の結果作られる核γ線や太陽中性子は電荷をもたないため進路を曲げられることなくまっすぐに到達する。よってこれらの核γ線や太陽中性子を観測することにより、イオンの加速機構を解明できると考えられている。しかし、中性子は質量を有しているので光速度では走れずエネルギーにより到来時間に差が出る。すなわち、エネルギーが測れる中性子検出器を使用して観測する必要がある。

そこで、アメリカの気象衛星GOESによる以下のX線の観測結果でMクラスに強度のピークを持ち中規模程度の太陽フレアが起こったと考えられる2010年2月6日から2010年2月8日までの3日間の中で一番強度の強いX線(M6.4)が観測された世界標準時で2010年2月7日2時34分頃にファイバー型シンチレータ(FIB)で観測された中性子の到来方向やエネルギー分布などを調べ太陽表面からの中性子の有無を観測したのでここに報告する。

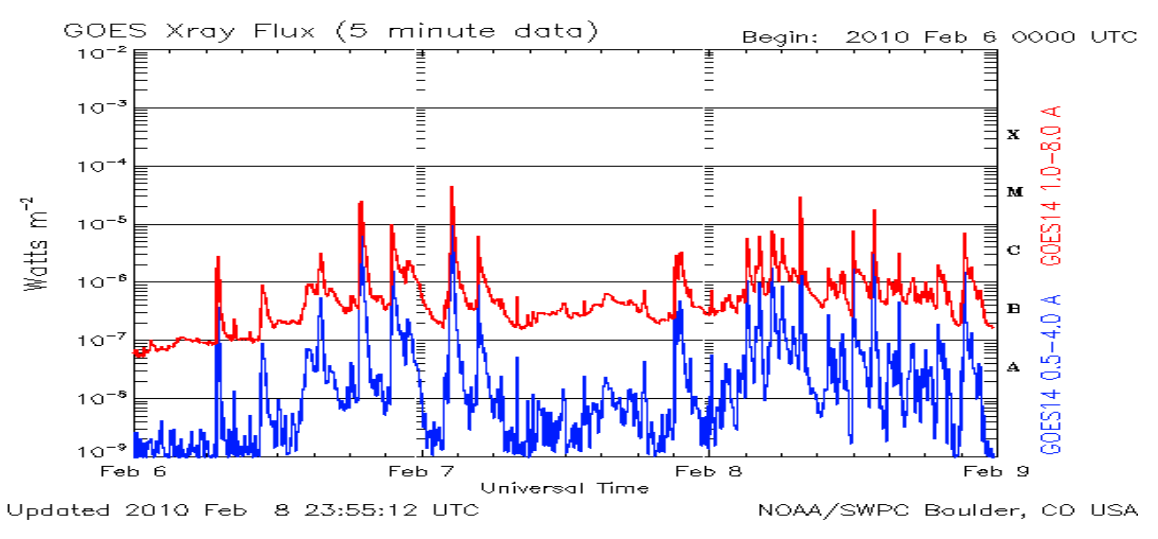


図1. GOESによる2010年2月6~8日のX線観測結果

2 目的

2.1 実験の目的

国際宇宙ステーション (ISS) に搭載されている中性子モニタ (Neutron monitor: NEM) から得られたデータのうちシンチレーションファイバー型検出器 (FIB) で観測されたデータを解析して太陽からの中性子を探した。まず、2つの256チャンネルを有するマルチアノード光電子増倍管のADC分布を求め、中性子モニタが正常に稼働しているかを確認した。次に2010年2月6~8日のMクラスのフレアに伴う中性子到来の有無を調べた。そしてBackground中性子のエネルギー分布を求めた。

2. 2 SEDA-AP装置の観測目的

SEDA-AP装置における観測目的は、ISSの周回軌道における中性子や重イオン、プラズマ、高エネルギー軽粒子、原子状酸素、スペースデブリなどの宇宙環境の計測を行うとともに電子部品や材料を宇宙空間に直接さらすことにより宇宙環境の影響を調べることである。

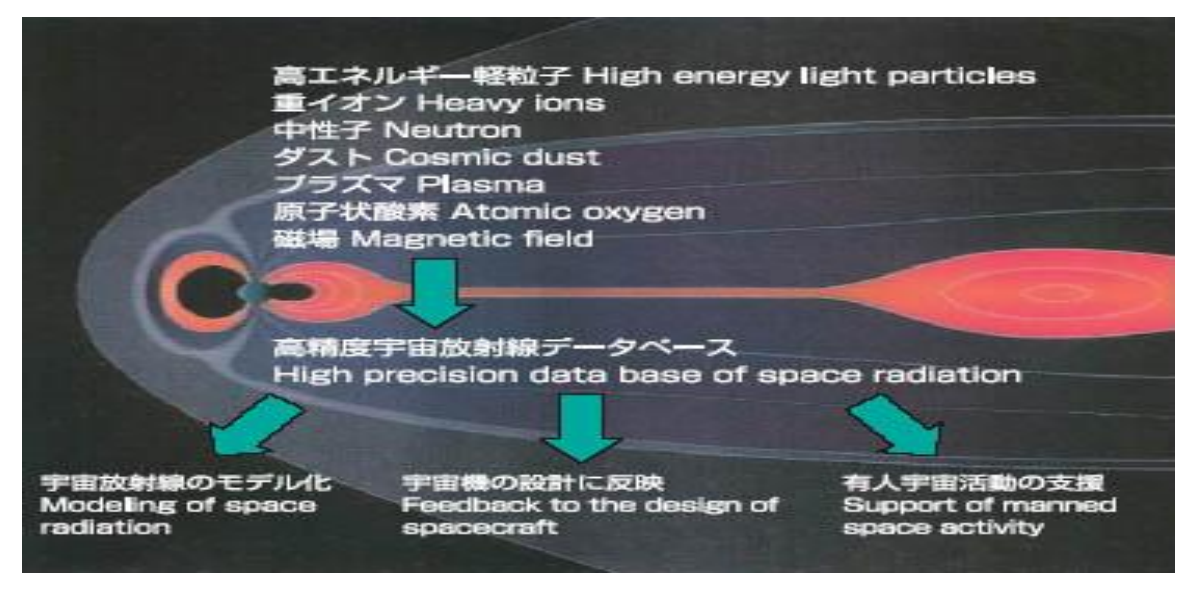


図2. 観測粒子の使用目的

2.3 中性子計測の目的

中性子をISSで観測する目的は、ISSにおける中性子放射環境の計測や被爆線量の

導出、太陽フレアに伴う大量放射線を事前に予測することによる宇宙の天気予報、太陽フレアに伴う太陽からの中性子の検出と粒子加速機構を実証的に解明することである。

3 観測場所について

3. 1 国際宇宙ステーション(ISS)



図3. 国際宇宙ステーション(ISS)

国際宇宙ステーション(International Space Station: ISS)は、地上から約400km上空に建設された巨大な有人実験施設であり、一周約90分というスピードで地球の周りを回りながら、宇宙という特殊な環境を利用した実験や研究、地球や天体の観測などが長期にわたり行われている。また、人類にとって「初めての国境がない場所」とされ、アメリカ合衆国、日本、カナダ、欧州各国(イギリス、フランス、ドイツ、イタリア、スイス、スペイン、オランダ、ベルギー、デンマーク、ノルウェー、スウェーデン)、ロシアの計15カ国の人々によって計画的に利用されている。さらに、一つのものを作り上げるために、これほど多くの国々の最新の技術を集結するというプロジェクトは今までには全くなかったことなのでISSは世界の宇宙開発を大きく前進させるための重要な施設であるとともに、国際協力と平和のシンボルとされている。

様々な機能を持つISSは構成パーツ(部分)を40数回に分けてロケットやスペー

スシャトルによって打ち上げられ、宇宙空間で段階的にロボットアームの操作や飛行士の船外活動により組み立てられている。最初の構成要素「ザーリャ」(基本機能モジュール)は1998年11月20日にカザフタン共和国のバイコヌール宇宙基地から打ち上げられた。運用は2016年までと予定されているが JAXAなどのISSを利用している国々は2016年以降も延長して運用しようと計画している。

3.2 ISSの周回軌道

ISSの周回軌道は、地球周回軌道のうち低軌道(最も地表に近い軌道)を通っている。その軌道は、高度350kmであり、地球大気の電離圏(80km ~ 500 km)に位置している。つまり、検出される粒子の中には電離層の中にあるイオンの可能性も含まれている。しかし、そこで検出される電子や陽子のエネルギーは太陽磁場や地球磁場の影響を受けた核子やイオンのエネルギーよりも低いと考えられる。

一方で外気層に近いため高エネルギーを持った銀河宇宙線が I S S を構成する物質 や地球の大気に衝突することにより生成したと考えられる二次宇宙線やアルベド中性 子も観測されている可能性がある。そのため、細心の注意を払ってデータの解析を行わなくてはいけない領域である。

4 観測装置について

4. 1. 1 SEDA-AP装置について

宇宙環境計測ミッション装置であるSEDA - AP(Space Environment Data Acquisition equipment — Attached Payload)装置は1991年にISSの放射能レベルを測定するという目的でまず提案されたのである。この装置は、日本の曝露部であるJEM - ISSに搭載される計測装置の一つとして設計されたのである。この曝露部の装置に搭載されているのは中性子モニタ(NEM)だけではなく重イオン計測装置(Heavy ion Telescope: HIT)や高エネルギー軽粒子モニタ(Standard Dose Monitor: SDOM)、プラズマ計測装置(Plasma Monitor: PLAM)、原子状酸素モニタ(Atomic Oxygen Monitor: AOM)、電子部品評価装置(Electronic Device Evaluation Equipment: EDEE)や材料曝露実験装置(Space Environment Exposure Device: SEED)、微小粒子捕獲実験装置(Micro-Particles

Capturer: MPAC)の8つの計測装置が搭載されている。MPACやSEEDで宇宙空間に曝露された材料などは将来、宇宙飛行士によって地上へ回収されるのである。 (実際にこの部品は回収され現在日本で解析中である。)

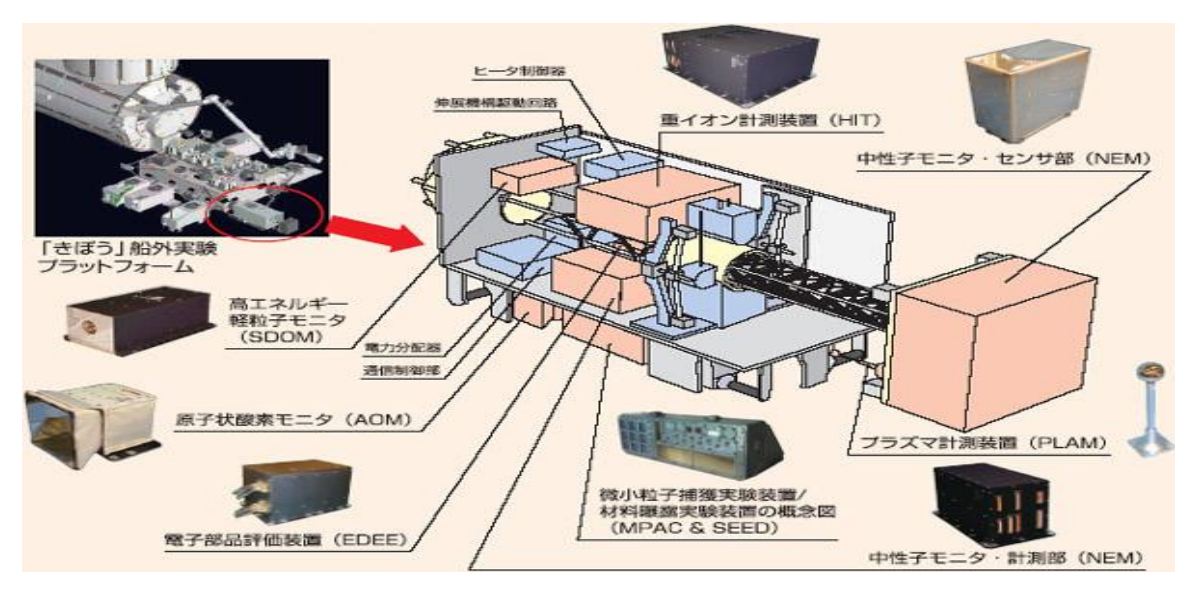


図4. SEDA-AP装置

4.1.2 中性子モニタ以外の各装置の説明

(1) 重イオン計測装置(HIT)

重イオンであるリチウム、炭素、酸素、シリコン、鉄の粒子別エネルギー分布をシリコン半導体検出器で計測する。 2 枚の位置検出器、及び 1 6 枚の半導体検出器に入射した荷電粒子は、入射粒子のエネルギー損失に比例した信号を生成する。HITはこれを利用して、各々の検出器での損失エネルギー、及び検出器内で停止した粒子については全エネルギーを計測する。 Δ E × E 法により各種重イオンの粒子分別を行う。

(2) 高エネルギー軽粒子モニタ (SDOM)

宇宙機器のための宇宙放射線モデルの作成・更新・有人被爆管理支援及び宇宙天気予報の基礎データとして電子、陽子、 α 線などの高エネルギー軽粒子の粒子別のエネルギー分布を、3枚の半導体検出器とシンチレータを組み合わせて計測する。入射粒子のエネルギーは3枚の半導体検出器及びこれを突き抜けたものは後ろにあるプラスチックシンチレータにより計測される。粒子弁別は、各検出器の波高の組み合わせによる Δ E×E法により行う。

(3) プラズマ計測装置(PLAM)

宇宙空間プラズマの密度と電子温度を、ラングミュアプローブ方式で計測する。PL

AMセンサ部のプローブに金属球を用い、プローブに可変電位を印加し得られる電流 - 電圧特性を解析することにより電子密度や電子温度を計測する。またフローティング・ブロー部によりプラズマ電位を計測する。サッカー場のサイズの宇宙ステーションは、太陽光の日照中や日陰中にプラズマの中を飛翔する中で様々な電位に帯電するし、ISSの場所によって異なる。宇宙ステーションの太陽パドルは160Vの電圧を発生し、マイナス側を接地しているので宇宙ステーションの本体は、日照中はおよそ-160Vから日陰中は+20Vまで地球周回ごとに変動するが、宇宙飛行士の船外活動中と、HTVなどが宇宙ステーションにドッキング中のみは-40Vから+40Vの範囲に帯電電位を人為的にコントロールされている。これがうまく作動しないと、放電が起きて、宇宙服のピンホール損傷、ドッキング用の電気コネクタの損傷を招くのでプラズマや電位計測は非常に重要である。

(4) 原子状酸素モニタ (AOM)

原子状酸素は、非常に活性度が高いために熱制御材や塗料を劣化させ熱制御に影響を与えるため、宇宙環境モデルの基礎として計測を行う。カーボンフィルムが原子状酸素によるエロージョンによりその厚さが薄くなる。このカーボンフィルムの厚さの変化を抵抗値変化とすること(アクチノメータ方式)を用いて計測する。

(5) 電子部品評価装置(EDEE)

「きぼう」で使用される電子部品の中でシステム上重要であると考えられるもので且つ放電線の感受線がある電子部品に対して宇宙放射線によるシングルイベントや劣化を計測する。この計測結果は、JEMシステムに異常があった場合の原因究明に使用される。それとともに、地上評価実験結果より予測される発生確率との比較を行い、放射特性の予報方法の向上に役立てる。シングルイベントの発生は、記憶データの一時的な反復及び電源電流の急増をモニタすることにより検出する。

(6) 材料曝露実験装置(SEED)

宇宙用材料の対宇宙環境評価の一環として、実宇宙環境曝露による特性変化を調査し、 耐宇宙環境性評価技術の向上に用いるとともに、実宇宙環境曝露データの蓄積、人工衛 星のプロジェクトへの反映を行う。熱制御材料や個体潤滑剤など宇宙用の材料を、宇宙 環境に直接さらした後、地上へ回収し宇宙放射線や原子状酸素など宇宙環境の影響によ る宇宙用材料の劣化状況を調べる。

(7) 微小粒子捕獲実験装置 (MPAC)

JEMに飛来する、ミクロンサイズからミリサイズのメテオロイドおよびスペースでブリのサイズ、材質、飛来速度、飛来方向、衝突頻度などの分布を調査し宇宙環境モデ

ルの最新化に利用されるとともに、有人宇宙システムや人工衛星に使用する部品、材質の対ダスト性評価技術などの向上に利用される。ISSの軌道に存在する微小な粒子を、シリカエアロジェル及びポリイミドフォームによる捕獲材料を用いて捕獲する。宇宙環境にさらされた後、宇宙飛行士が詮議活動により実験サンプル部分を取り外して地上へ回収し、捕獲粒子の速度起源などを解析する。また、金属性のプレートを用いて衝突回数を解析する。

4. 2中性子モニタ (NEM) の各部位と機能

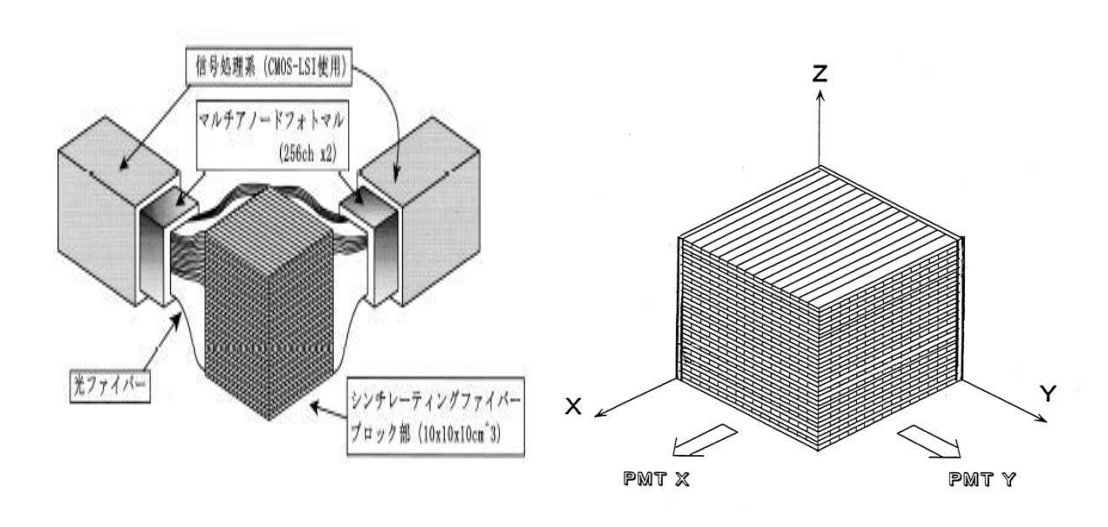


図5. シンチレーションファイバー型検出器

中性子モニタ(NEM)を構成しているユニットは、検出部(NEM-S)と電気回路部(NEM-E)の二つのユニットである。また、シンチレーションファイバー型検出器は縦、横、長さが3mm×6mm×96mmのシンチレータで構成されている。検出部は二次宇宙線の影響を避けるためにSEDA-APから1m進展されている。それぞれのシンチレータは積層されており、シンチレータ内で発光した光子は256(16×16)チャンネルのマルチアノードホトマル(浜松 H4140-20)の表面に光ファイバーを通って達する。マルチアノードホトマルによってそれぞれの位置からの反跳陽子の飛程距離(range)を測り、飛程距離測定法によりエネルギーを求める。それは、この中性子モニタが反跳陽子の飛程距離により陽子の走行距離を明らかにすることができるからである。陽子と中性子を区別することは、FIBのセンサの6面を覆っている6つのアンチコインシデンスにより効率的に行われている。荷電粒子に対するアンチコインシデンスの効果は、理研の加速器をもちいて事前に160MeVのエネルギーをもつ毎秒100万個の荷電粒子のビームを打ち上げられた装置に照射して計測されている。アルミニウムターゲットをこの装置の前に置かないときは全くセンサから信号がなかったのに対してターゲットを置いた時に直ちに中性子の信号を問題なく計測できていたということが確認されて

いる。

中性子の飛程距離を測定するために使われているセンサは、一辺が10cmの立方体である。この装置の最大計測運動量は約120MeV/cである。このセンサは、二つのマルチアノードホトマルによって二方向から計測されていて、飛程の到来方向を明らかにできるかもしれないのである。中性子の到来方向を確定するためには、陽子は最低でも3本のそれぞれ3mmの厚さのシンチレータの層を通過する必要がある。それゆえに、測定できる中性子の最小計測運動量は約30MeV/cである。

ここで、私たちは解析においてこのセンサによる中性子の観測効率について注意しなければいけないのである。計測装置は1辺が10cmなので、120MeVよりも高いエネルギーを持っている中性子が装置の頂上のほうで崩壊したとき、飛程は捉える事が出来かもしれないが、np荷電交換反応が装置の低い部分で起こった時、反跳陽子はアンチカウウンタの一つを貫通しながら外側へ逃げていくのである。それゆえに、アンチカウウンタが働いて中性子のイベントが記録されないのである。

上述のような装置であるNEMの電気回路部や検出部の機能について以下に述べる。

4. 2. 1 電気回路部 (NEM-E)

電力分配機(PDAP)とインタフェースし、NEM各部へ電力を供給する機能を有する電源部、通信制御部(APRT)からのコマンドを受信しNEM各部へ制御信号を配信するほか、NEM-Sからの計測データを編集しAPRTへ出力する機能を有するAPRTインタフェース、FIB部の計測データを一時蓄積、出力する機能を有するFIBメモリA/B部、NEM-Sへの電源供給および制御信号、時刻信号を送信するほかNEM-Sからのデータを受信し、APRTインタフェース部へ出力する機能を有するNEMインタフェース部から構成されている。

4. 2. 2 検出部 (NEM-S)

4. 2. 2. 1 電源部

NEM-Eとのインタフェースを行い、NEM-S各部へ電力を供給する機能を有する。電源部はFIB POWER UNIT部によって構成される。

4. 2. 2. 2 ボナボール型検出器 (BBD)

軌道上の低エネルギー中性子 (15keV~10MeV) のエネルギースペクトルを

計測、データ編集を行いNEM-Eへ出力する機能を有する。また、BBDはEインタフェース部、BBD回路部、BBD検出部及びバイアス回路部により構成される。本装置は代表的な中性子の検出器で中央のHe 3比例係数管を囲むように減速材のパラフィンで覆われている。

4. 2. 2. 3 シンチレーションファイバー型検出器 (FIB)

軌道上の高エネルギー中性子(30MeV~100MeV)のエネルギースペクトルを計測、データ転送を行い、NEM-Eへ出力する機能を有する。また、FIBはNEM-Eインタフェース部とインタフェースする部分を有し、FIBの制御信号、時刻信号を受信し、FIB回路部へ配信する回路を有している。また、BBDの各信号およびFIB計測データをNEM-Eへ送信する機能を有するEインタフェース部、FIB検出部において電気信号に変換された高エネルギー中性子測定信号をA/D変換器によりデジタル化し、時刻データを加えて編集処理を行いFIB Eインタフェースへ出力する機能を有する。FIBは512本の積層シンチレータ及び256チャンネルのマルチアノードホトマルを主構成とするセンサにより高エネルギー中性子計測データを電気信号に変換しFIB回路部へ出力する機能を有する。FIBは、マルチアノードホトマル及びアンチシンチレータ用ホトマルにバイアス電圧を供給する機能を有する。

5. 観測環境について

5.1 宇宙放射線の種類

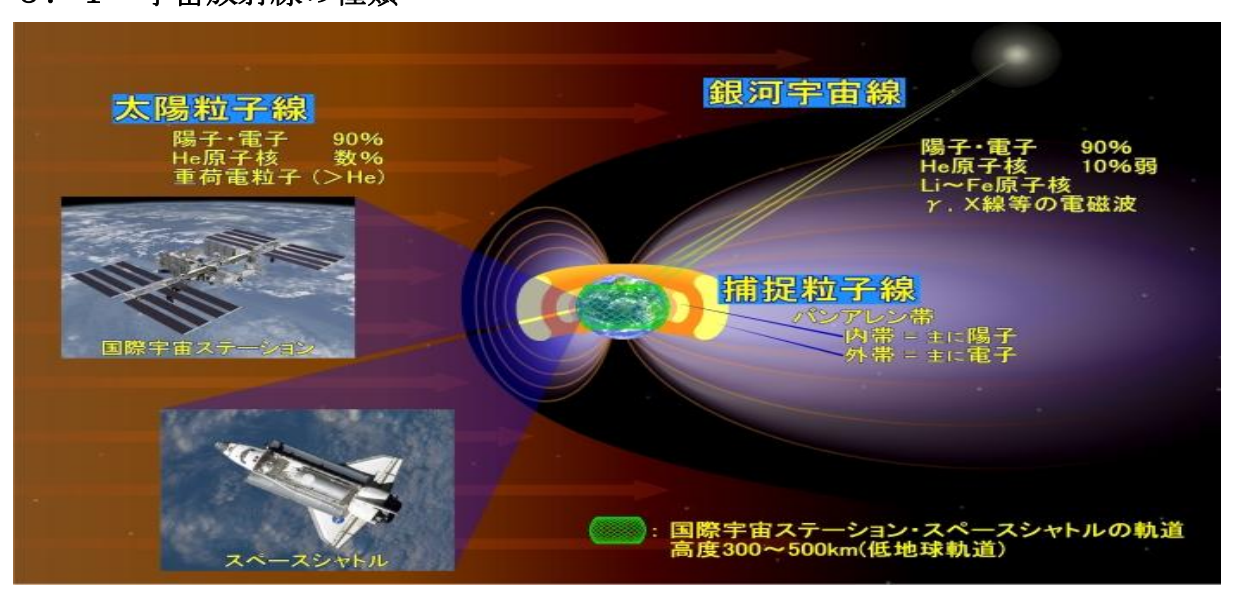


図6. 宇宙放射線の種類

5.1.1 バンアレン帯

バンアレン帯とは、地球磁場に細くされた高エネルギー荷電粒子が定常的に存在する領域で、内帯と外帯の二重構造の帯状構造で構成されている。内帯には5MeV以下の電子と400MeV以下の陽子があり、外帯には存在しない高エネルギーの陽子があることから内帯を陽子帯と呼ぶことがある。放射線内帯の粒子は磁気圏深部の強い磁場に捕らえられて放射線帯に留まっている。ある程度以上のエネルギーを持った粒子は、磁場によって曲げられる曲率が小さいため、磁気圏外に飛び出してしまって、放射線帯に留まっていることはできない。これには次のようなやや複雑な過程が関与していると考えられている。すなわち極めてエネルギーの高い銀河宇宙線が地球大気に飛び込み大気原子との相互作用によって2次中性子を発生させる。これをアルベド中性子という。その中性子が崩壊して陽子と電子になり地磁気に捕捉されてバンアレン帯(COSRAD)を形成すると考えられている。

ブラジル上空を見ると放射線帯が局所的に低空まで下降した領域がある。これは、南大西洋異常(SAA)と呼ばれ、地磁気双極子が約450km日本に近づく、つまりブラジルから遠ざかる方向に偏心していると考えられている。SAAは地磁気の永年変化で経度0.2度/年(平均値)で西に移動し約2000年で地球を一周する。したがって、ISSは少なくともSAA通過中には放射線帯粒子に対する防護対策をとる必要がある。しかし、SEDAはSAAにおける放射線強度を測定するのも目的のひとつなので電源はOFFにしない。通常の衛星はSAA通過時には電源をOFFにする。

5.1.2 銀河宇宙線

超新星爆発の残骸(Super Nova-Remnants)などによって加速され太陽系に飛び込んできた放射線は銀河宇宙線と呼ばれている。銀河宇宙線はプラスの電荷を持ち、銀河磁場で加速されて高速に近い速度を持っている。ほかの成因による宇宙線(たとえば太陽宇宙線)に比べてエネルギーは大きく、その範囲は約 $10^8\sim10^{20}$ eVである。元素組成は83%が陽子、13%が α 線、3%が電子、残りの1%が重イオンである。銀河宇宙線は太陽活動の11年周期変動による地場変動の影響を受け、極大期には太陽磁場擾乱などによる遮蔽効果のために、地球周辺に侵入する宇宙線の量が最小になる。極小期には逆に宇宙線量が最大になる。銀河宇宙線はICなどのシングルイベントの原因となると同時に人工衛星壁面などの原子と反応して中性子を含む大量の二次宇宙線を生成する可能性がある。

5.1.3 太陽宇宙線

太陽宇宙線は太陽フレアやCMEの発生に伴って突発的に飛来する放射線である。組成やエネルギースペクトルは太陽フレアごとに異なるが平均構成は銀河宇宙線とほぼ同じである。太陽フレアは太陽活動の11年周期のうち極大期の7年間に多く、特に大型のフレアは極大期のピークおよびピークから3~4年後までの黒点減少期に多く発生する。フレア発生時には、太陽フレアの宇宙線が増加し通常の十数倍から数十万倍程度の線量を被爆する。太陽宇宙線の大部分を占める成分である陽子の放射線荷重係数は電子の約5倍である。したがって、太陽宇宙線による放射線被爆は人体に大きな影響を与える可能性がある。

5.1.4 二次宇宙線

前述、1から3の宇宙線を一次宇宙線と呼ぶのに対し、一次宇宙線が宇宙船の船壁や大気原子の原子核と相互作用して、新たに生成する中性子ならびに荷電粒子を二次宇宙線と言う。中性子は、電気的に中性であるために人体の奥深くまで侵入し生物学的影響度を表す放射線荷重係数が電子の20倍と大きい。そのため二次中性子による被爆は宇宙飛行士の全被爆量の5~30%を占める。なお、ISSの高度では、宇宙船内部で発生する二次宇宙線の総量は大気による二次宇宙線の総量よりも約1桁大きい。

6 粒子観測の原理について

6.1 粒子観測の原理

観測しようとしている粒子は素粒子であり直接目で見ることができないので、粒子と物質の相互作用を通じて電気信号を発生させ、その信号の大きさや発生頻度、発生場所を記録して粒子の物理量を導き出す。荷電粒子は物質中を通過するとき、経路上に少しずつエネルギーを与えながら進んでいく。このとき、電離損失一de に比例した量の電気信号や蛍光発光を起こす物体を良い検出器として使うことができる。蛍光発光を起こすシンチレータ、電離したガス中の電子を増幅するガス検出器、電子・正孔対を電気信号として読みだす半導体検出器などが用いられる。発光型の検出器では、光電子増倍管を用いられて光が電気信号に変換される。十分に厚い装置を用意すると、粒子は装置の中で全エネルギーを失い止まってしまう。このとき、装置の信号の大きさを測定することで、粒子が持っていた全エネルギーを知ることができる。

6.2 中性子の観測原理

中性子は荷電を持たないため測定は難しい。しかし物質中においてエネルギーを失わずに通過していくが、確率的に原子核と衝突しその中の粒子をはじき出す。このとき、荷電粒子がはじき出されるならば上記の粒子検出原理で測定可能である。原子核反応を起こすまでの平均的な距離は分かっているので、中性子を効率的に検出するためには装置をある程度の厚さにしておく必要がある。また、中性子は原子核反応を起こすまでは痕跡を残さないため、装置全体を荷電粒子検出器でつつんでおき、ここに信号がないことを確認することで選択的に中性粒子を選び出すことができる。この方法は反同時計測法(アンチコインシデンス)と呼ばれている。中性子が何度も原子核反応をおこすだけの物質を用意しておくと、最終的に熱中性子と呼ばれる非常に低いエネルギーの中性子が作られる。この中性子がホウ素原子核に吸収される反応

$$B + n = Li + \alpha$$

にともなう α 粒子を観測することで高い効率で中性子を検出することができる。これが中性子モニタと呼ばれる装置で用いられる原理である。ただしこの場合は、中性子のエネルギーや運動方向を測ることはできない。SEDAの場合は BF_3 ではなくHe3が使われているが、原理はほぼ同じである。

6.3 シンチレーションファイバー型検出器における中性子の観測原理

ファイバー型シンチレータに入射した中性子自身はシンチレーション光を放出しないのでアンチカウンタにより検出されることなくSCIFIブロック部に入射する。しかし、中性子はSCIFI中の水素原子核と弾性散乱または炭素原子核と非弾性散乱を起こすことにより荷電交換反応で反跳陽子を叩き出す。この反跳陽子の飛跡をマルチアノードホトマルで検出し、得られた飛跡の長さから入射中性子のエネルギーを導出する。つまり、SCIFIブロック部はコンバータかつセンタとしての役割を果たしている。中性子が水素原子核と弾性散乱あるいはnp荷電交換反応を起こした場合には反跳陽子のエネルギーは散乱角から一義的に決まるが、反跳陽子は中性子が炭素原子核と非弾性散乱を起こすことによっても生成されるためこの場合は入射中性子のエネルギーを一義的に決める事は困難で最低エネルギーのみ決めることができる。

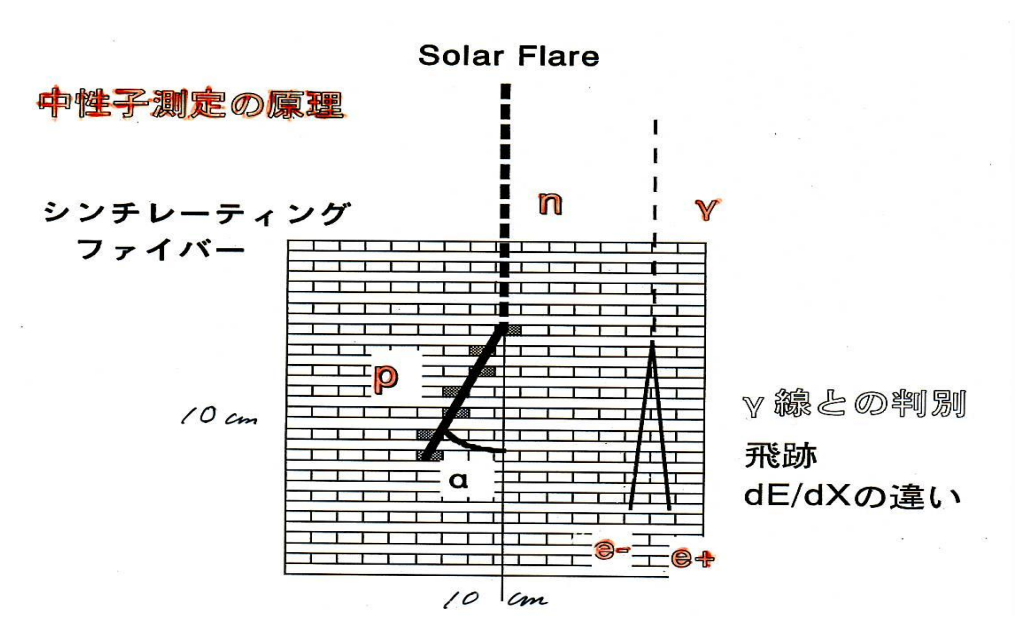


図7. 中性子測定の原理

7 解析手順について

7. 1 ADC分布の解析手順

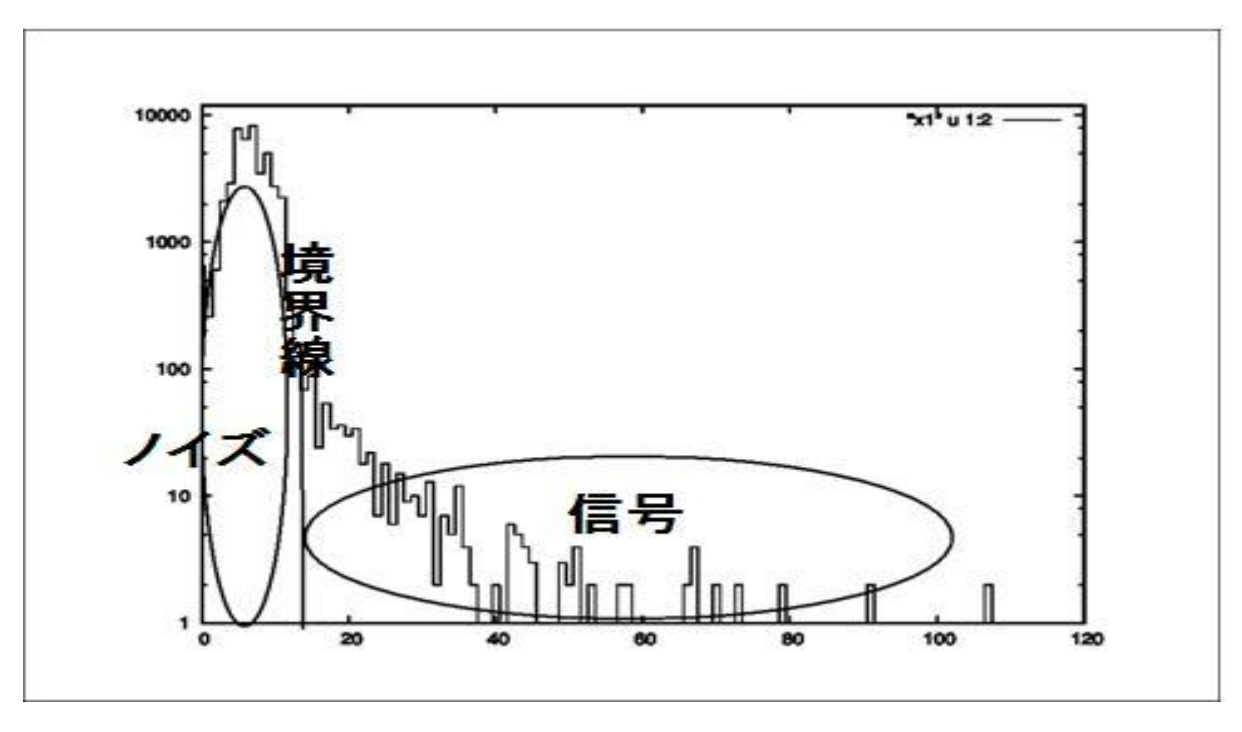


図8. ADC分布の例

FIB検出装置内に入射する粒子のエネルギーは装置内で吸収されるエネルギーに相当すると考えられる。これより、吸収されたエネルギーは装置内でアナログデジタルコンバータ値 (ADC値) として変換されるが装置内ではほかの信号も変換されている。そこでほか粒子などの信号による影響を取り除き中性子によって散乱した陽子の飛跡をはっきりとさせるため、そして、打ち上げ前のノイズレベルと比較しどのくらいの変化があるかをみるために、512本のシンチレータの1つ1つのチャンネルで観測されたADC値の分布を調べる。

その際、各512本のシンチレータのチャンネルで観測された結果により得られた上図のような分布の表を目視することにより信号とホトマルの熱雑音またはADCの電気ノイズと考えられる雑音の境界線であるADCの値を定めて、それぞれの表から境界線を引いた残りの信号部分(境界線より右側)の平均値を算出して信号のピークとみなす。また、ノイズの部分(境界線より左側)の平均値を算出する。また、算出した各512チャンネルの信号のピーク値を境界のADCの値で割ったものをgain比とみなす。そして、x軸層、y軸層ごとに現在のgain比の分布と宇宙に打ちあがる前に測定されたgain比の分布と比べる。

7. 2 中性子の各到来方向に対するエネルギー分布の解析手順

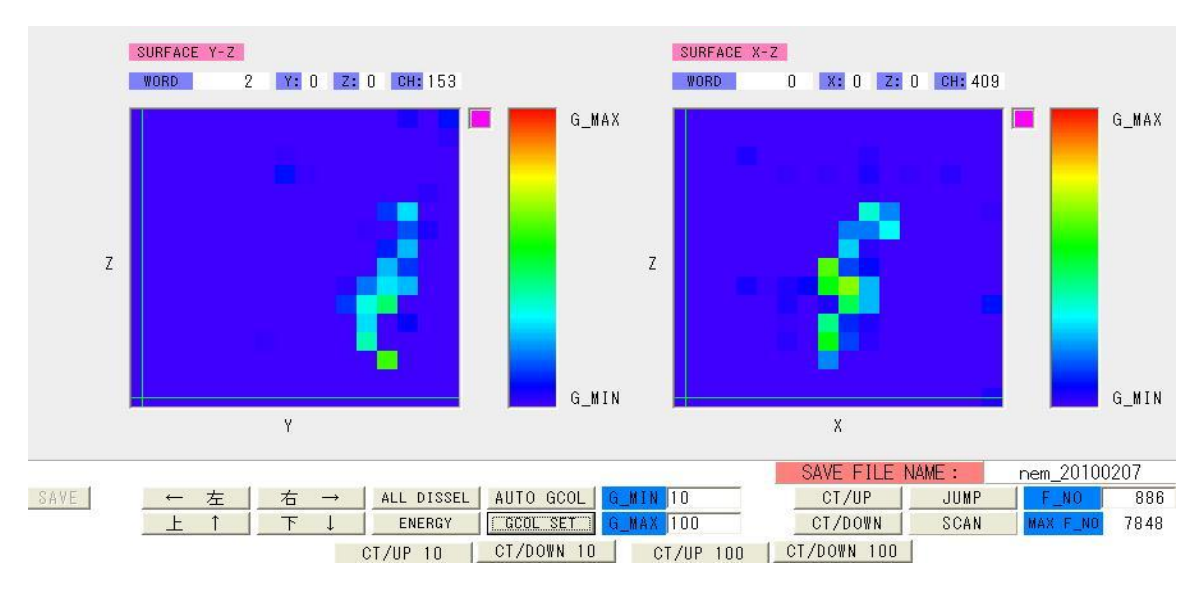


図9. 解析ソフトの画面の例

まず、FIB_BBD. exeに2010年2月7日にFIBで観測されたデータファイル(nem20100207. nem)を読み込ませ、F_NO830などのF_NOを打ち込みJUMPボタンを押したりCT/UPやCT/DOWNを押したりすることによってイベントを移動させ、 16×16 マスの二つの画面の中でカーソルを動かして各イベントの陽子の到来方向や飛程距離x、y、zの長さを目で見て測り、ピタゴラスの定理を使い3次元での飛程距離1を求める。また、1画面のうちの1マスを通過するというのは積層された約0.3cmのシンチレータを2本通過したことに同等であるのでユニットとしてはL=0.6[cm]×1通過したことになる。その測定された飛程距離Lの長さにより期待される中性子の運動エネルギー[MeV]を下図の陽子の運動エネルギーのグラフの曲線を近似した直線より求めた式で算出する。ただし、シンチレータの比重は1.0g/cm²とした。

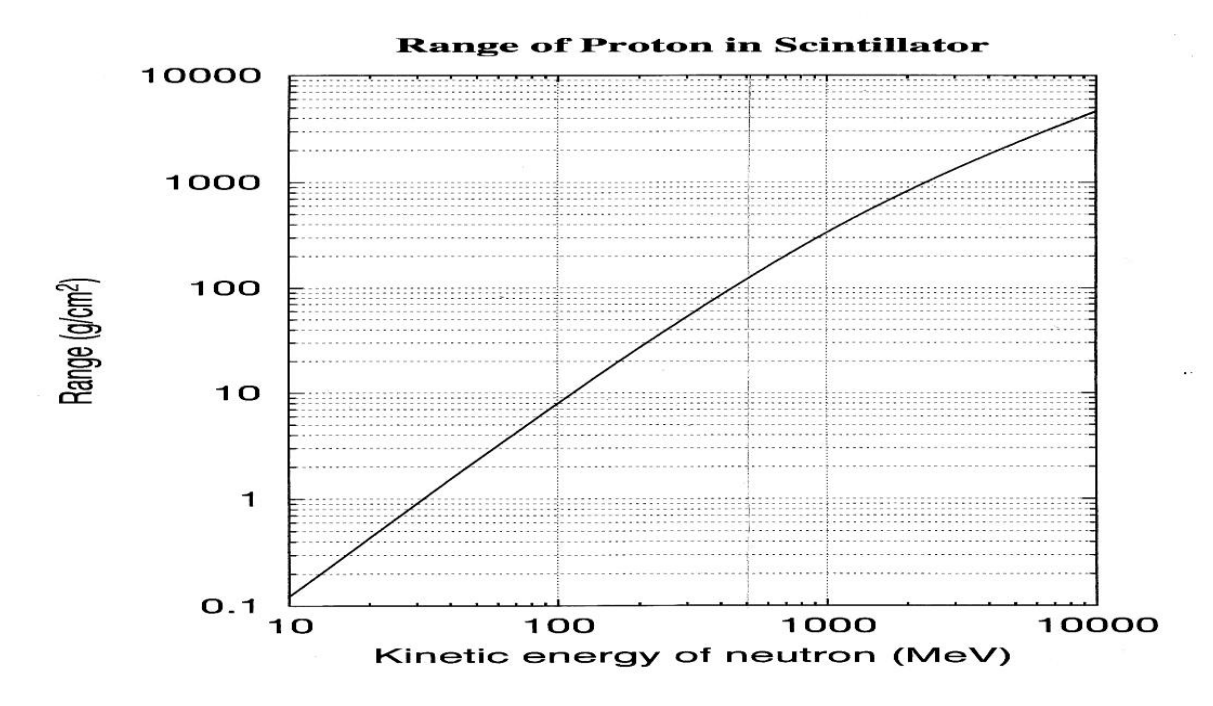


図10. 中性子の運動エネルギーに対するシンチレータ内の陽子の飛程距離

陽子の運動エネルギーのグラフの曲線を近似した直線より求めた式は以下の式になった。

$$E n = 28.7 \times L^{0.62} [MeV]$$

8 解析結果

8.1 ADC分布より得られた結果

まず、LINAX上で2010年1月1日のデータをSeda5. cで解析することによって512チャンネルのチャンネルごとの0~256の各ADC値に対する個数を求めたファイルを作成した。次に、gnuplotでx軸の範囲を0~120、y軸の範囲を1から15000、y軸を1ogscaleに設定した。その条件で512本の各チャンネルのADC値のヒストグラムを描いた。次に、各512本のシンチレータのチャンネルで観測された結果により得られた分布の表を目視することにより信号と雑音の境界線であるADCの値を定めて、それぞれの表から境界線を引いた残りの信号部分の平均値を算出して信号のピークとみなした。また、ノイズの部分の平均値を算出した。

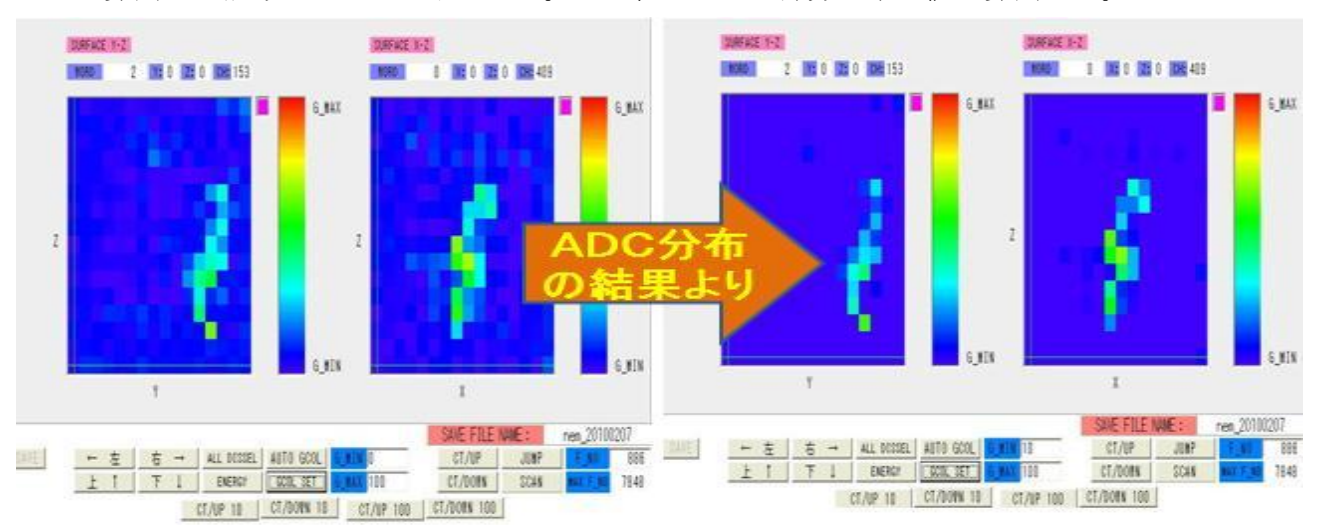


図11. ADC分布を利用したノイズの取り除き

また、算出した各 5 1 2 チャンネルの信号のピーク値を境界値としたADCの値で割ったものを g a i n 比とみなした。そして、x 軸層、y 軸層ごとに現在の g a i n 比(電圧は-1 9 5 0 V)の分布と宇宙に打ちあがる前に測定された g a i n 比(電圧は-2 0 0 0 V)の分布と比べた。すると、打ち上げ後の x 軸層の g a i n 比の平均は 2 . 1 であり打ち上げ後の g a i n 比の平均は 1 . 3 という結果が得られた。また同様に、打ち上げ後の g a i n 比の平均は 2 . 2 であり打ち上げ後の g a i n 比の平均は 1 . 4 という結果が得られた。比較した結果が分かりやすいように x 軸層、y 軸層ともに打ち上げ前の各 g a i n 比の時の個数を打ち上げ前の各 g a i n 比の値を 1 . 6 倍した値の時の個数とした。そして、x 軸層と y 軸層の打ち上げ後の g a i n 比のグラフと重ねて比較した。

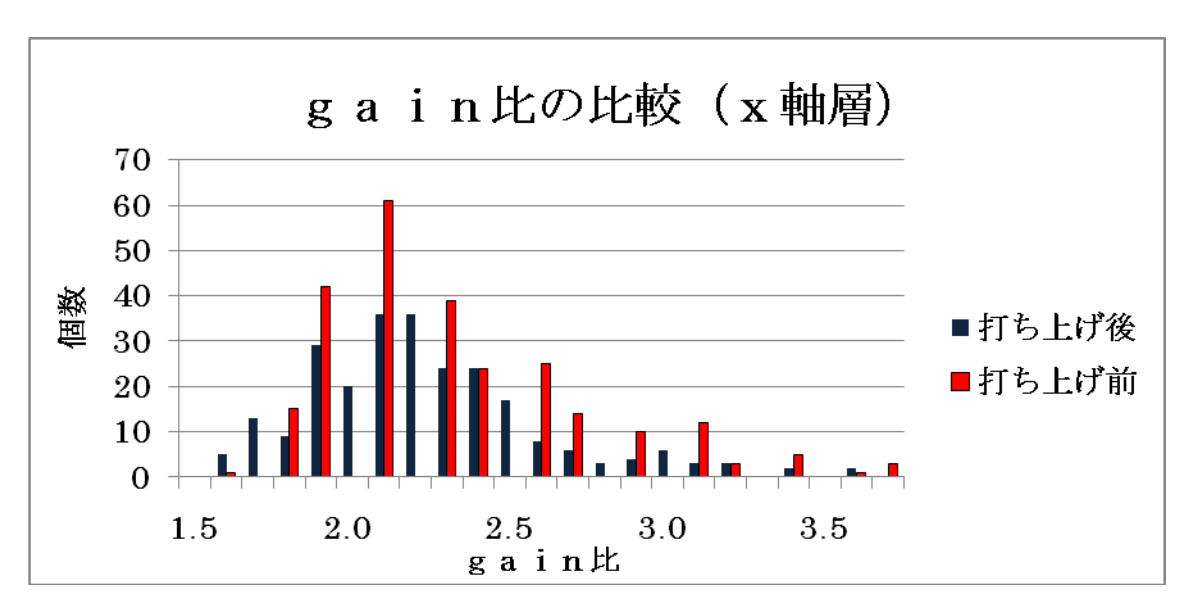


図12. 打ち上げ前後のgain比の比較(x軸層)

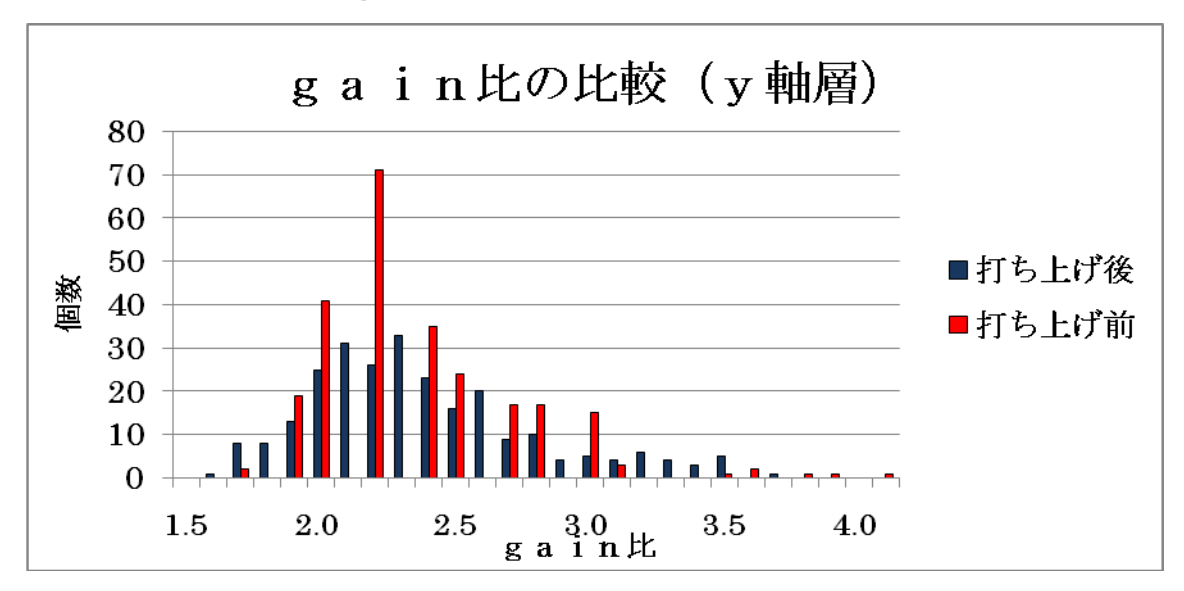


図13. 打ち上げ前後のgain比の比較(y軸層)

8.2 Background中性子の各到来方向に対するエネルギー分布

まず、解析ソフトに2010年2月7日に中性子モニタのファイバー型シンチレータによって観測された高エネルギー中性子のデータ ($nem_20100207$. nem)を読み込ませ、気象衛星GOESがX線の一番強いピーク (M6.4)を観測した世界標準時で2010年2月7日2時34分のあたりであるNO.830~NO.1030の200イベント (2時21分5秒~3時31分51秒)のうち国際宇宙ステーションの居住区側から到来した中性子であると思われるもの、また、ブラジル南部に位置する非常に地磁気の影響が強い地域である南大西洋異常 (South Atlantic

Anomaly: SAA) のあたりで中性子が観測されたNO. $500 \sim$ NO. 800 の300 イベント (2時5分58秒~2時9分12秒) のうち地球の上空で跳ね返ってきた中性子であると思われるものを測定した。

同様に、MクラスにX線のピークがあった2010年2月6日の世界標準時18時59分(M2.9)を含む605イベント(18時24分~19時34分)と2010年2月8日の世界標準時7時53分(M4.3)を含む465イベント(7時23分~8時23分)と2010年2月8日の世界標準時13時47分(M2.0)を含む229イベント(13時17分~14時17分)のうち国際宇宙ステーションの居住区側から到来した中性子であると思われるものを測定した。それらの測定結果を以下に示す。

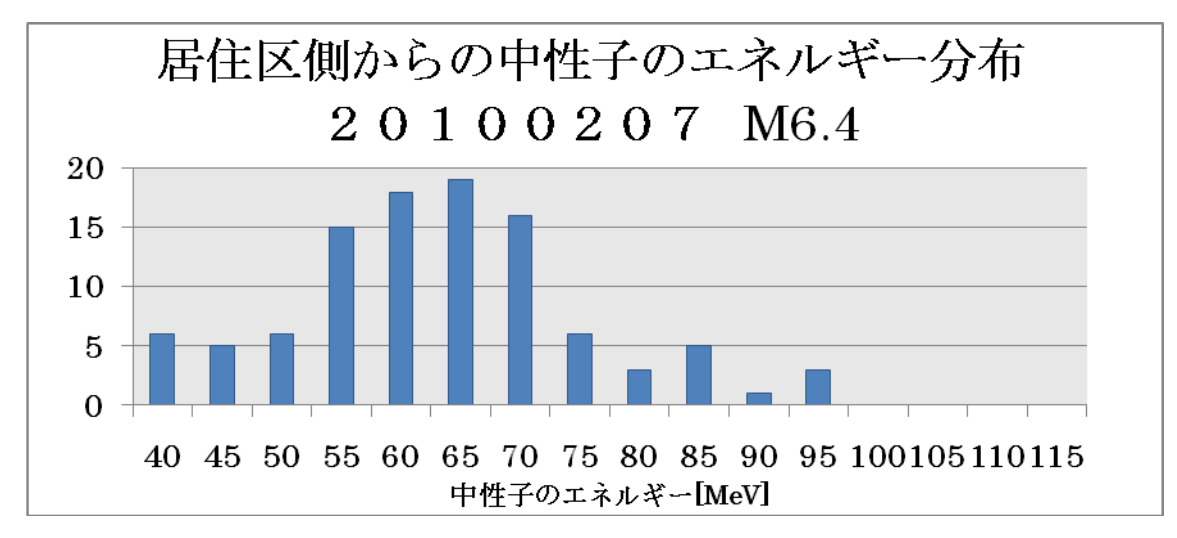


図14. 居住区側からの中性子のエネルギー分布2010年2月7日 2:34UT頃

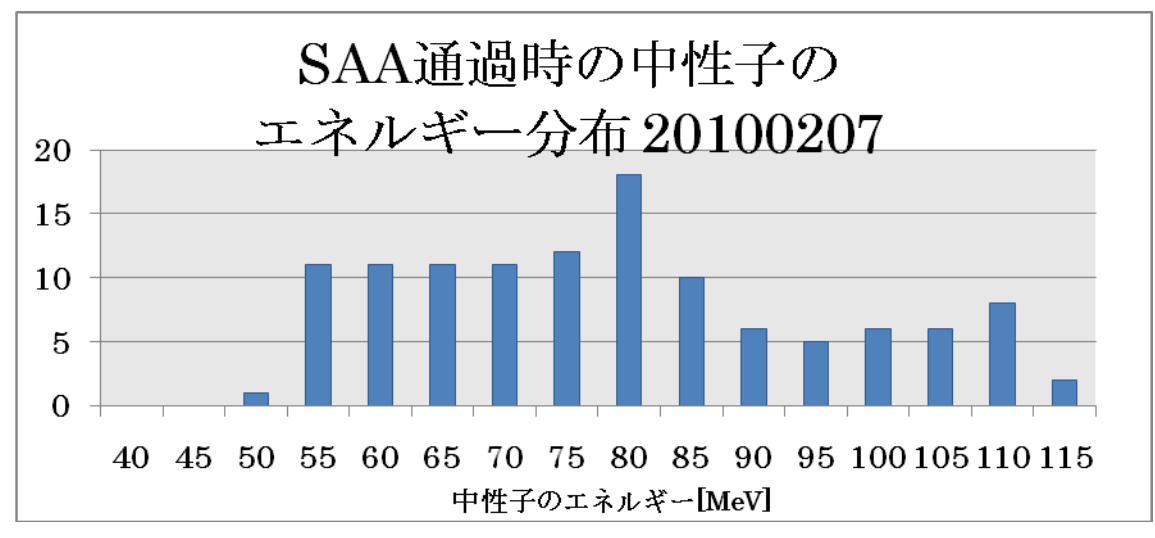


図15. SAA通過時の中性子のエネルギー分布2010年2月7日

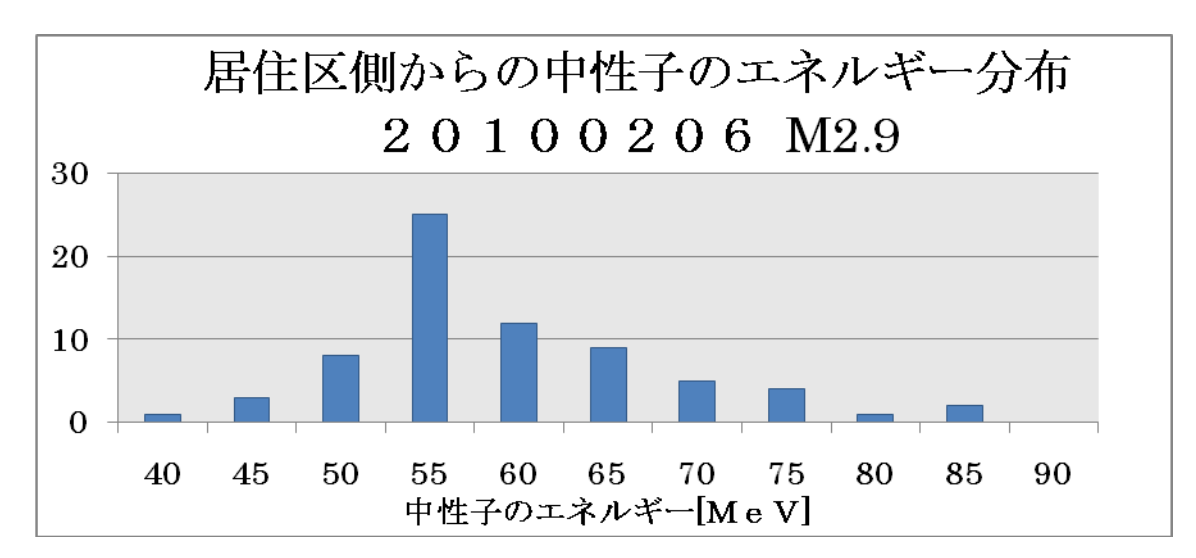


図16. 居住区側からの中性子のエネルギー分布2010年2月6日 18:59 UT頃

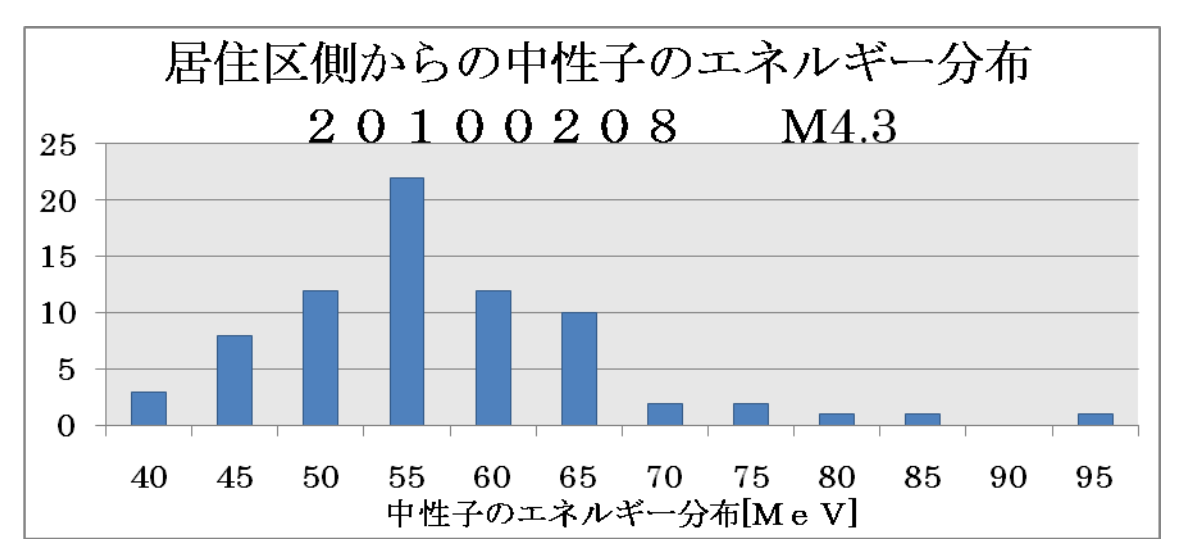


図17. 居住区側からの中性子のエネルギー分布2010年2月8日 7:53UT頃

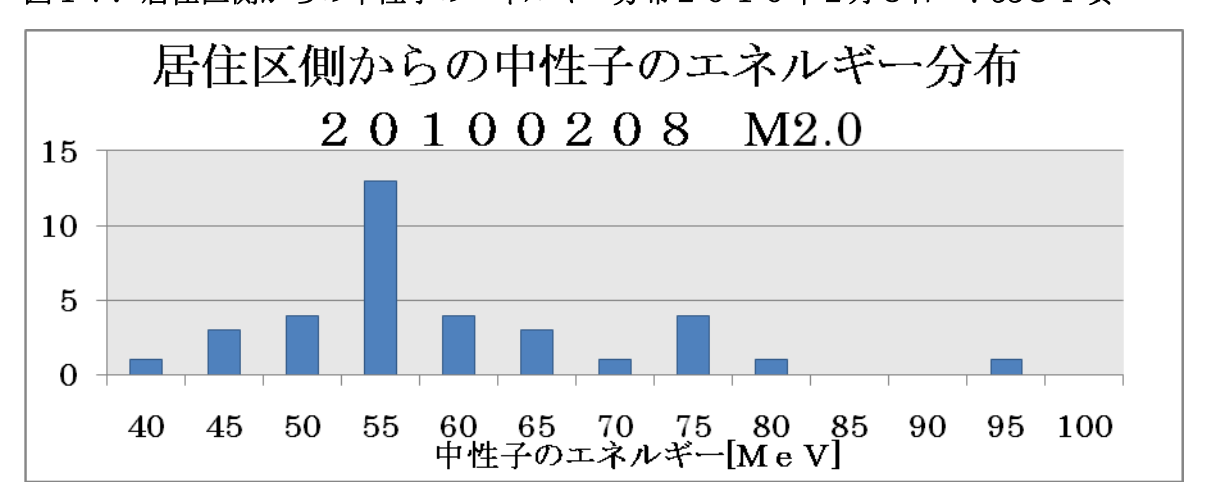


図18. 居住区側からの中性子のエネルギー分布2010年2月8日 13:47UT頃

8.3 太陽中性子の観測結果

2010年2月6日~8日に発生した4回のMクラスのフレアに対する太陽中性子の観測結果のグラフを以下に示す。

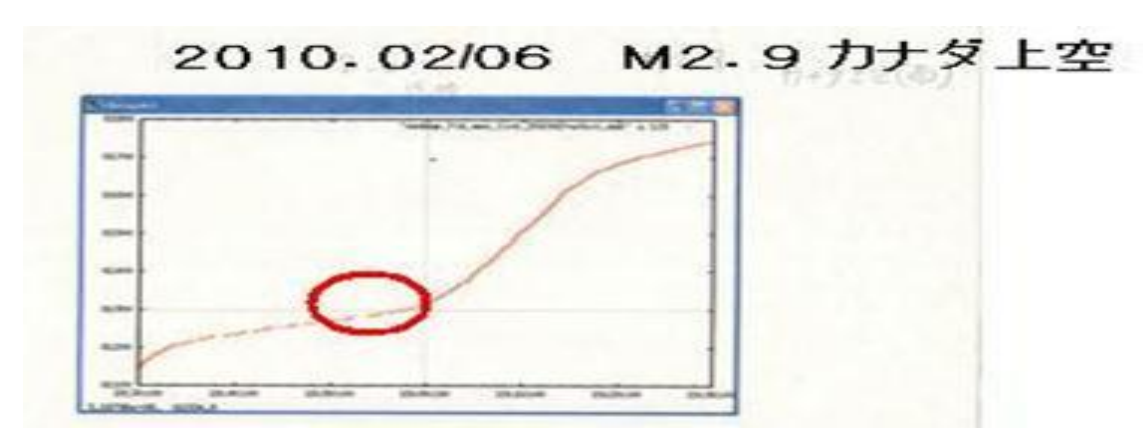


図19.2010年2月6日 太陽フレア (M2.9) の時の太陽中性子の観測結果

モンゴリア上空

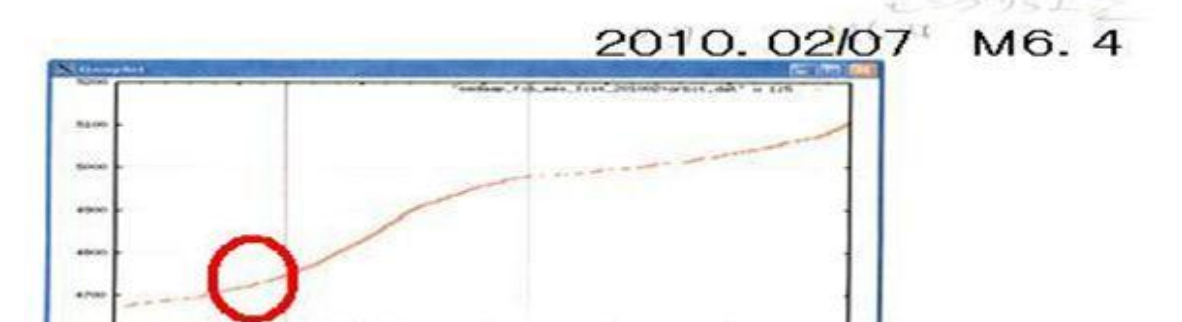


図20. 2010年2月7日 太陽フレア (M6.4) の時の太陽中性子の観測結果



図21. 2010年2月7日 SAA通過時を含む0時UT~6時UTの太陽中性子の観測結果

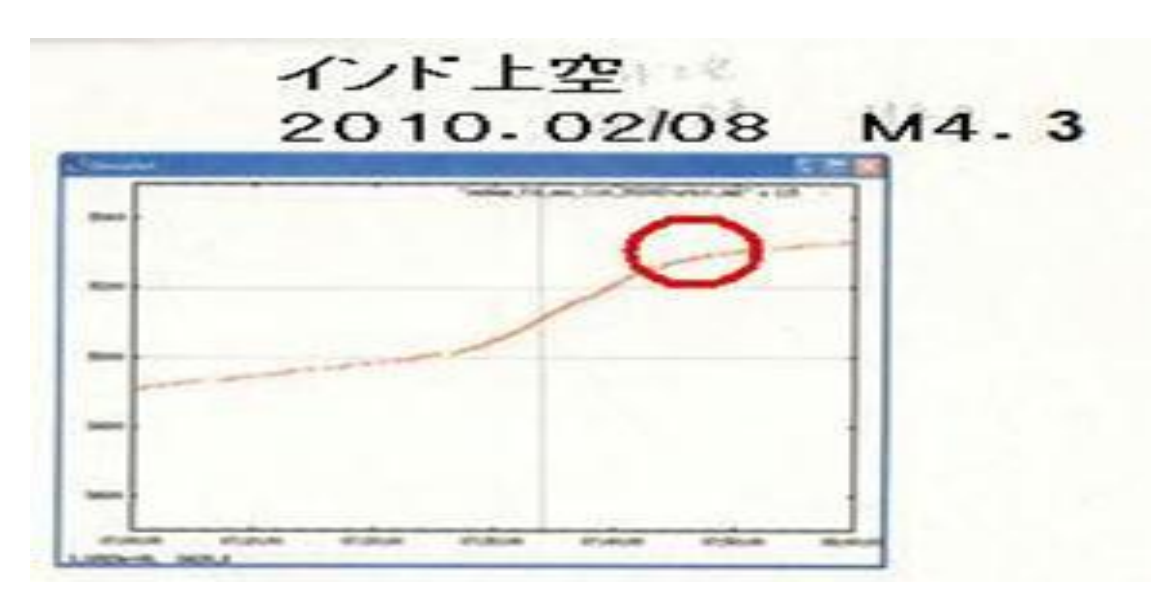


図22. 2010年2月8日 太陽フレア (M4.3) の時の太陽中性子の観測結果

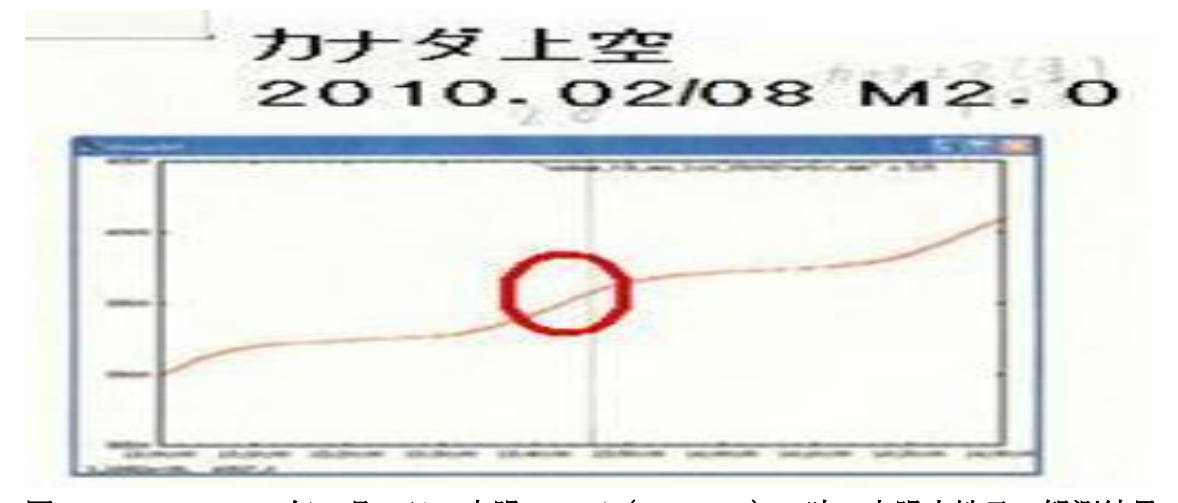


図23. 2010年2月8日 太陽フレア (M2.0) の時の太陽中性子の観測結果

9 考察

私が、解析して得られたADC分布により算出したx 軸層とy 軸層のg a i n比と打ち上げ前に測定されたg a i n比とを比較したところ、打ち上げ前(赤色)と打ち上げ後(青色)の 2 本の各ホトマルの各チャンネルの光量分布がよく似ているので計測機は打ち上げ後も正常に作動していることがわかった。

また、国際宇宙ステーションの居住区側から到来した中性子は、国際宇宙ステーションを構成する物質などに一次宇宙線(銀河宇宙線)が衝突して作りだした二次宇宙線であると考えられる。

また、SAAを通過時に観測された極めてエネルギーの高い銀河宇宙線が地球大気に 飛び込み大気原子との相互作用することにより発生した二次中性子であるアルベド中 性子のエネルギー分布は居住区側から到来した中性子のエネルギー分布よりもハードである。そのため、地磁気の影響が強いSAAを通過する時には衛星等は放射線を帯びた粒子に対する防護対策をとる必要があると考えられる。

10 参考文献

10.1 書物

- ・現代の天文学シリーズ 10 太陽 日本評論社
- ·太陽地球科学 京都大学出版会
- ・渡邉恭子、2002、修士論文、名大宇宙線研究室記事、43、4
- その他

10.2 電子情報

- ・宇宙天気ニュース http://swnews.jp/
- ・ J A X A ホームページ http://www.jaxa.jp/
- その他

11 謝辞

本研究を行うに当たり、多くの方にご指導と協力を賜わりました。この場を借りて深く感謝いたします。

本テーマを与えて下さり、ご指導していただいた村木綏先生、山本常夏先生、梶野文義 先生に深く感謝いたします。村木綏先生には、実際の解析や論文作成、発表のためのパワ ーポイント制作などの場で様々なことを教えていただきました。山本常夏先生には、解析 のためのプログラムを作っていただくだけではなく多岐にわたるご指導をいただきました。

甲南大学の大学院生の和田氏には、C言語で分からないこと等についていろいろ教えていただきました。また4年生の皆様にも作業に協力していただきました。

皆様の協力により本研究が遂行できましたことを、この場を借りて御礼申し上げます。 ありがとうございました。

最後に、私事ではありますが私生活・学費など様々な面において研究を援助してくれた 両親に感謝します。